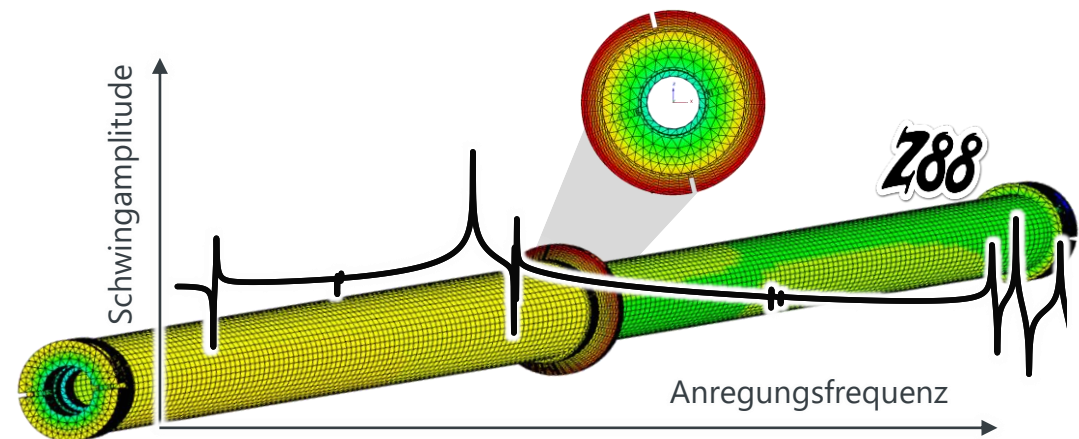


Modal- und Frequenzganganalyse interagierender Bauteilkomponenten am Beispiel einer Elastomer-Gelenkwelle und eines Industriegetriebes

Johannes Wittmann, Florian Hüter

25. Bayreuther 3D-Konstrukteurstag

Bayreuth, 11.09.2024

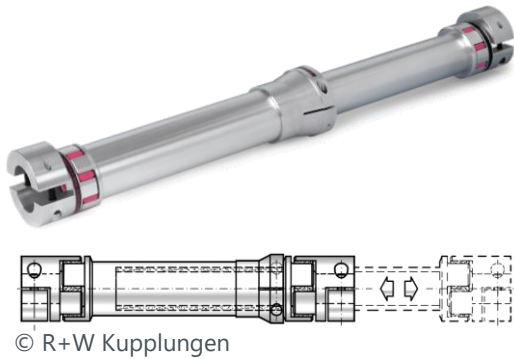


Motivation

Auslegung von Antriebstechnik-Komponenten

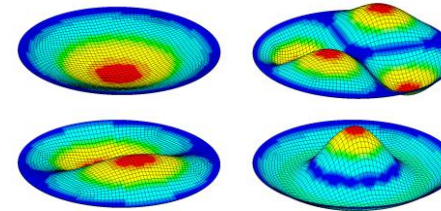
Maschinendynamik

- Vibroakustik
- Ressourceneffizienz
- Versagenssicherheit

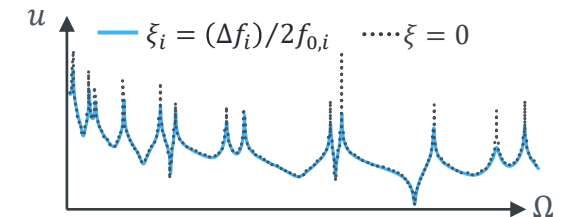


Numerische Schwingungsanalyse

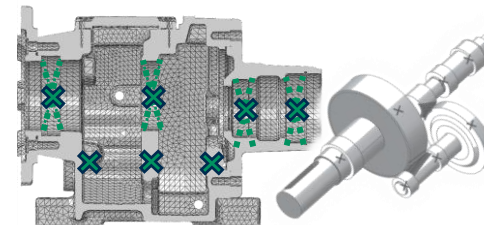
Eigenschwingungen



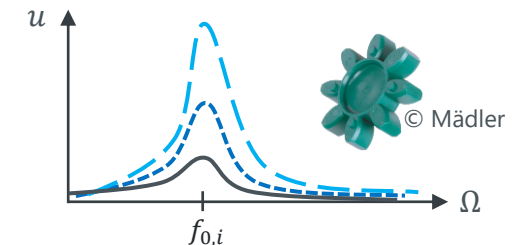
Amplitudengang



Umfeldebefluss



Dämpfung

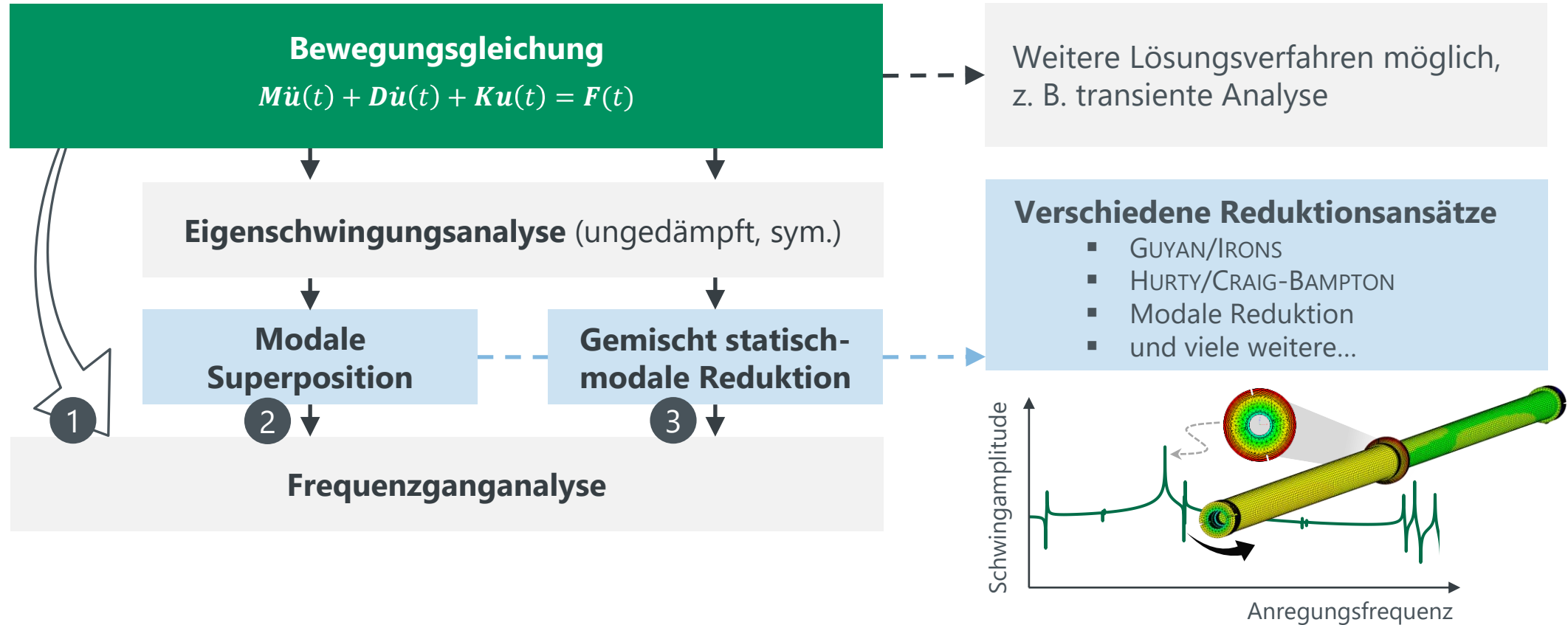


→ **Strukturdynamische FE-Strategien zur Effizienzsteigerung in der antriebstechnischen Auslegung**



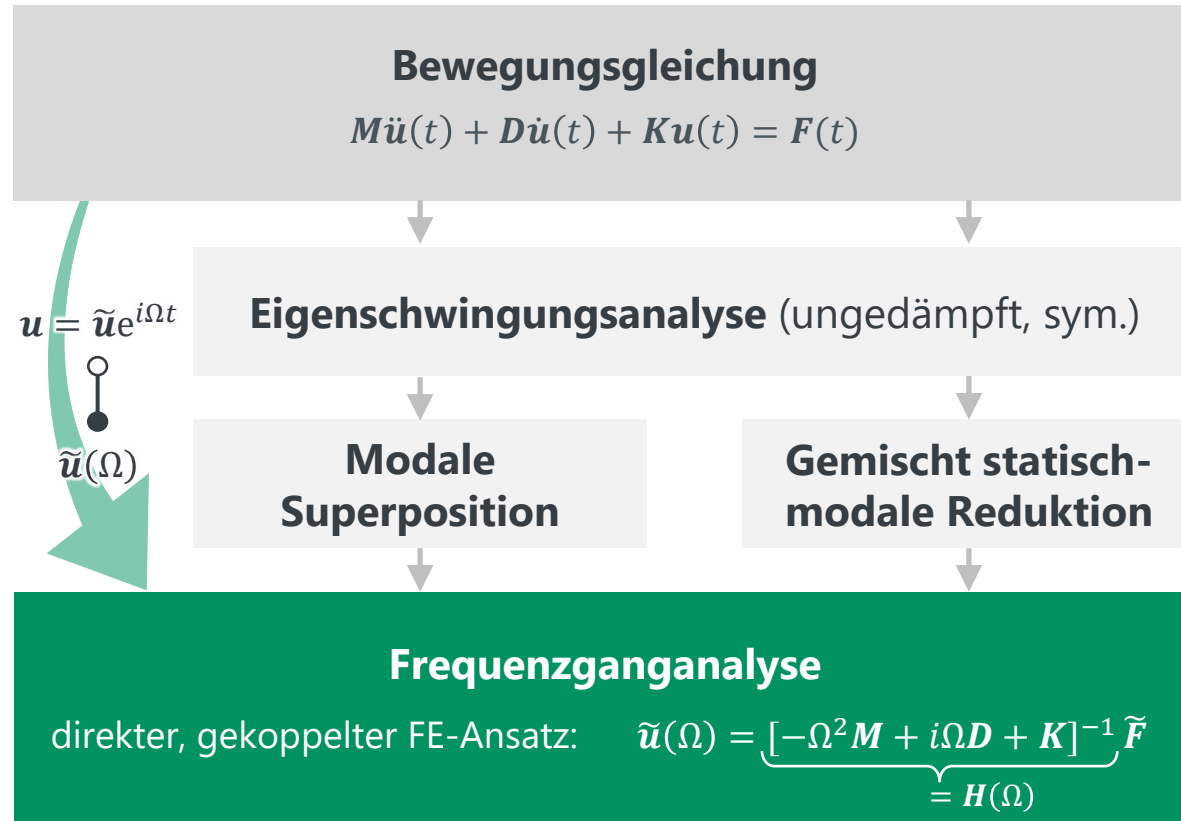
Strukturdynamische Finite-Elemente-Analyse

Überblick der untersuchten Methoden

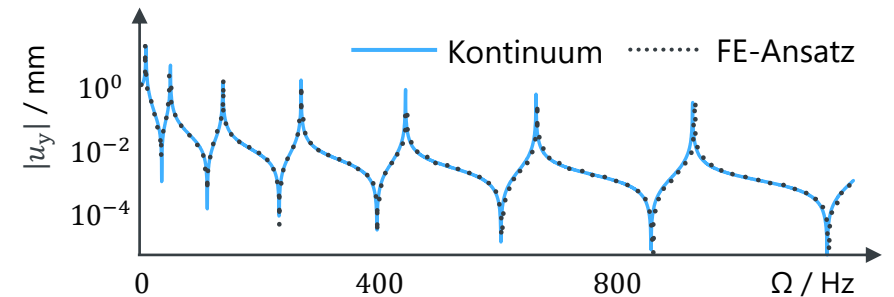
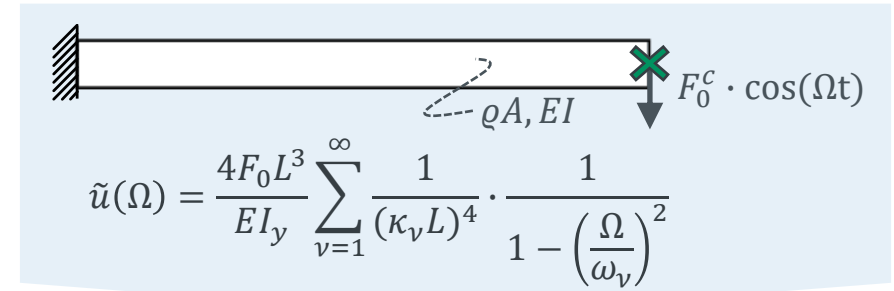


Strukturdynamische Finite-Elemente-Analyse

Frequenzganganalyse: direkter FE-Ansatz



Harmonische Anregung



→ **Übereinstimmung FEA vs. Analytik**

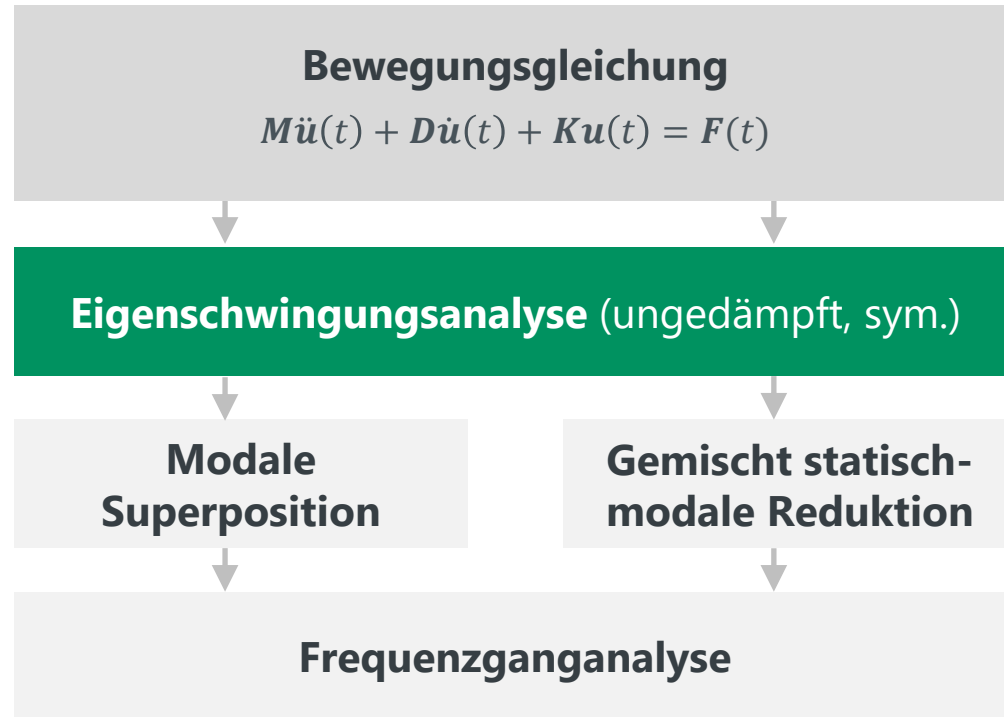


unpraktikable Speicher- / Rechenanforderungen



Strukturdynamische Finite-Elemente-Analyse

Eigenschwingungsanalyse des Kontinuums



Eigenwertproblem

$$(K - \omega^2 M)\Phi = 0 \quad \text{symmetrisch, ungedämpft}$$

Eigenwerte, Eigenfrequenzen und Eigenmoden

$$\Lambda_j = \omega_j^2, \quad f_j = \omega_j/2\pi, \quad \Phi = (\varphi_1, \dots, \varphi_n)$$

Lösungsalgorithmen in der FEA

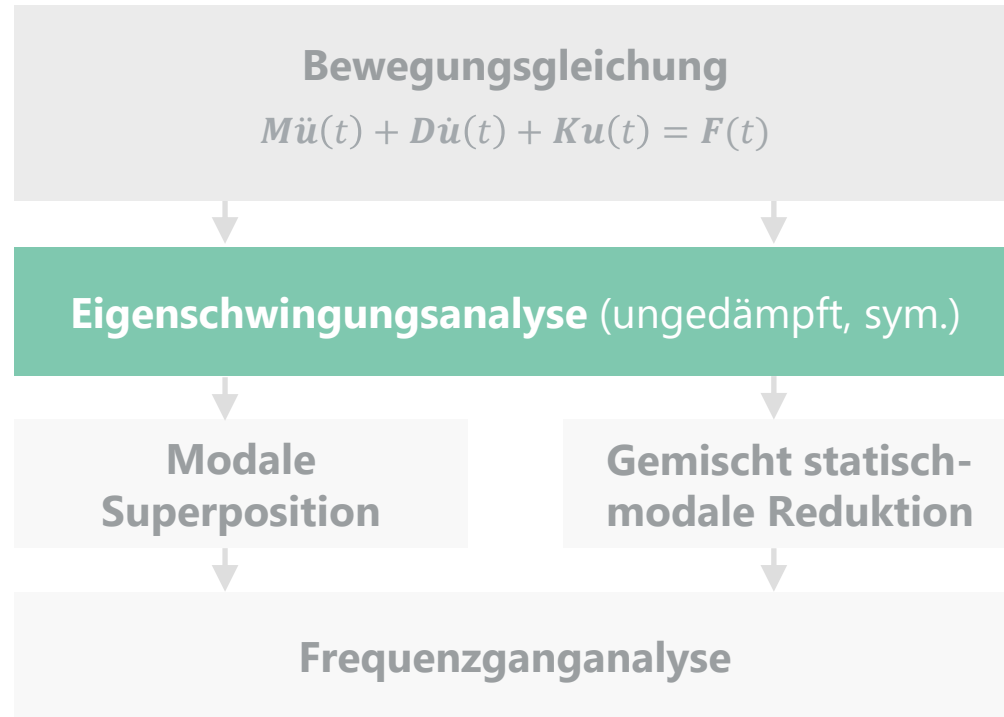
- LANCZOS und STURM 
- LEHOUCQ ET AL.: *Implicitly Restarted ARNOLDI Method*

$$(K - \sigma_S M)^{-1} M \Phi = \nu_S \Phi \quad \text{mit} \quad \nu_S = \frac{1}{\lambda - \sigma_S}$$



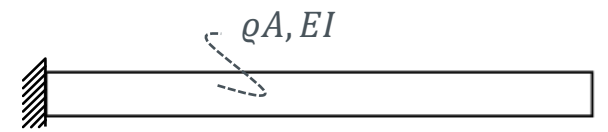
Strukturdynamische Finite-Elemente-Analyse

Eigenschwingungsanalyse des Kontinuums



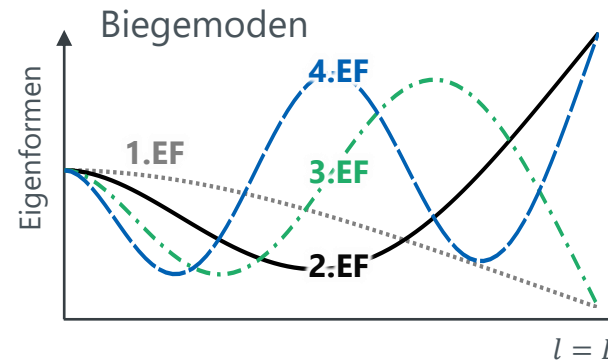
Validierungsbeispiel: Biegeschwingung

Analytische Lösung: EULER-BERNOULLI-Balken



$$1 + \cos(\kappa L) \cosh(\kappa L) = 0$$

$$\omega_v = \kappa_v^2 \sqrt{\frac{EI}{\rho A}}$$



$$f_1 = 7,8 \text{ Hz}$$

$$f_2 = 49,1 \text{ Hz}$$

$$f_3 = 137,5 \text{ Hz}$$

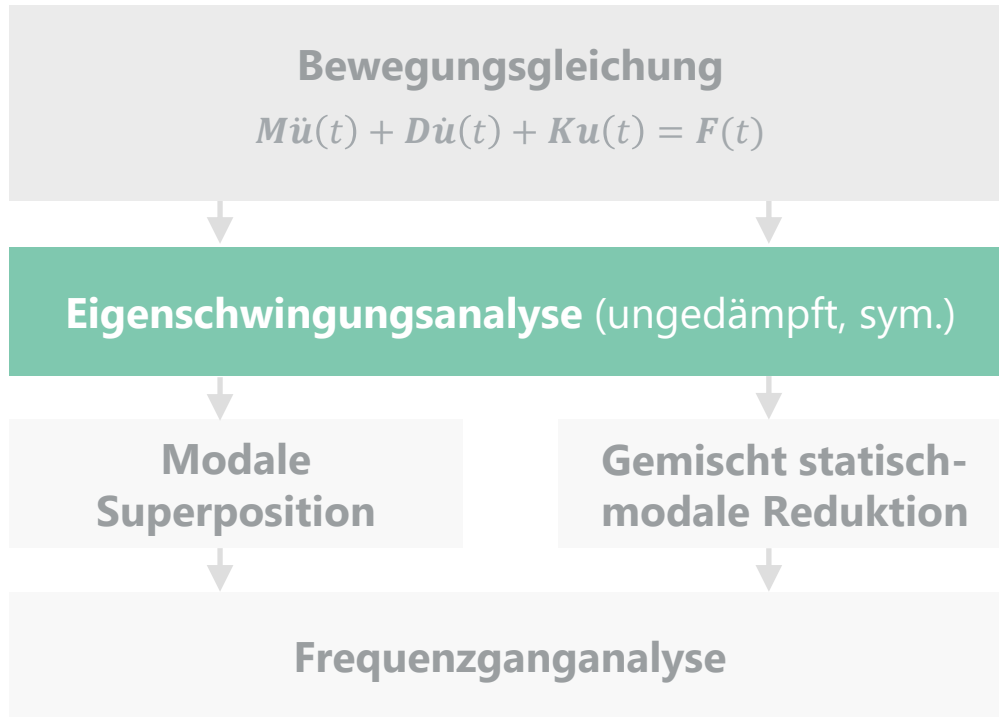
$$f_4 = 269,4 \text{ Hz}$$

$$f_v = \dots$$



Strukturdynamische Finite-Elemente-Analyse

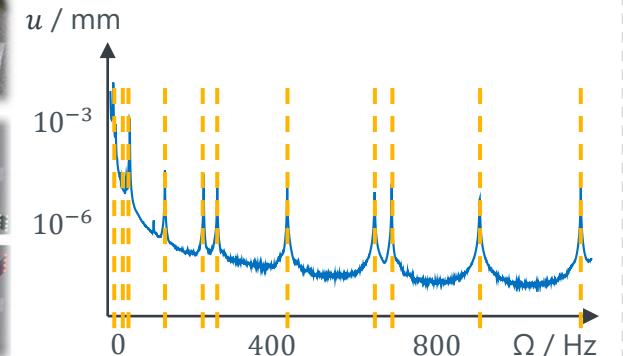
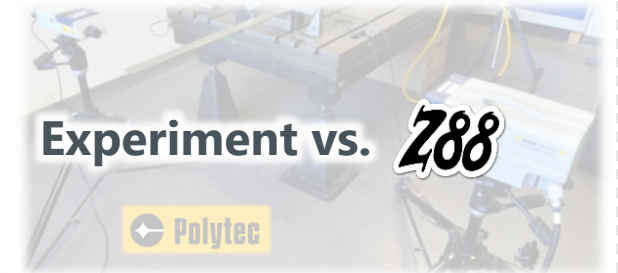
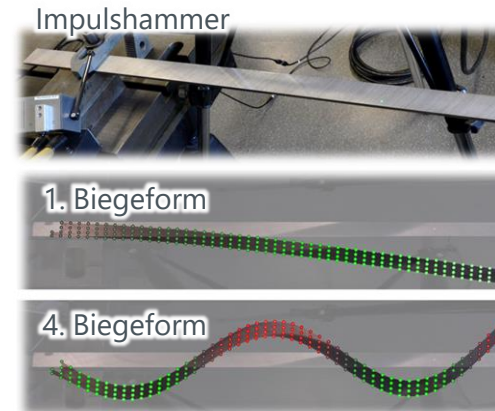
Eigenschwingungsanalyse - Experimentell



Validierungsbeispiel: Biegeschwingung

Amplitudengang Flachstahl

- 90MnCrV8
- 800 × 50 × 6 mm

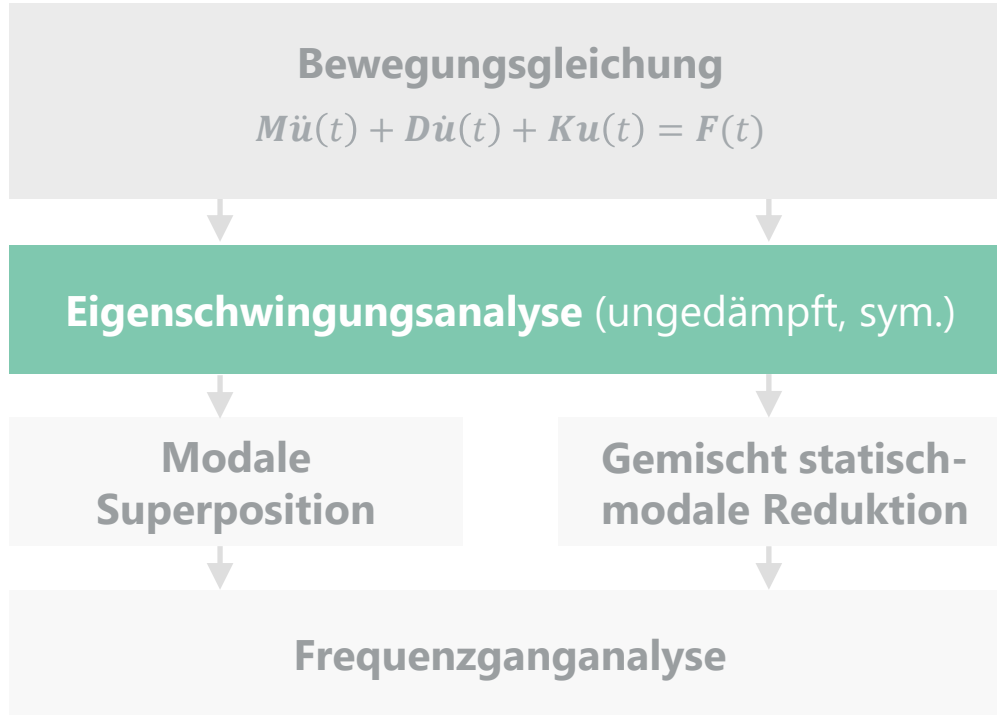


→ **Gute Übereinstimmung der Eigenfrequenzen aus FEA und experimenteller Messung**



Strukturdynamische Finite-Elemente-Analyse

Eigenschwingungsanalyse - Experimentell



Validierungsbeispiel: Biegeschwingung

Amplitudengang Flachstahl

- 90MnCrV8
- 800 × 50 × 6 mm

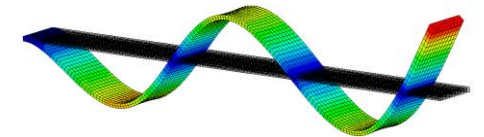
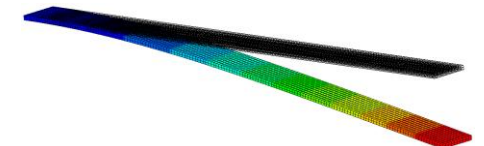
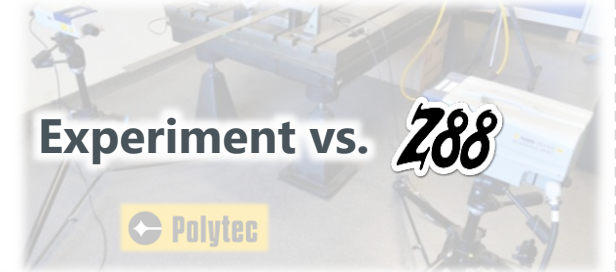
Impulshammer



1. Biegeform



4. Biegeform

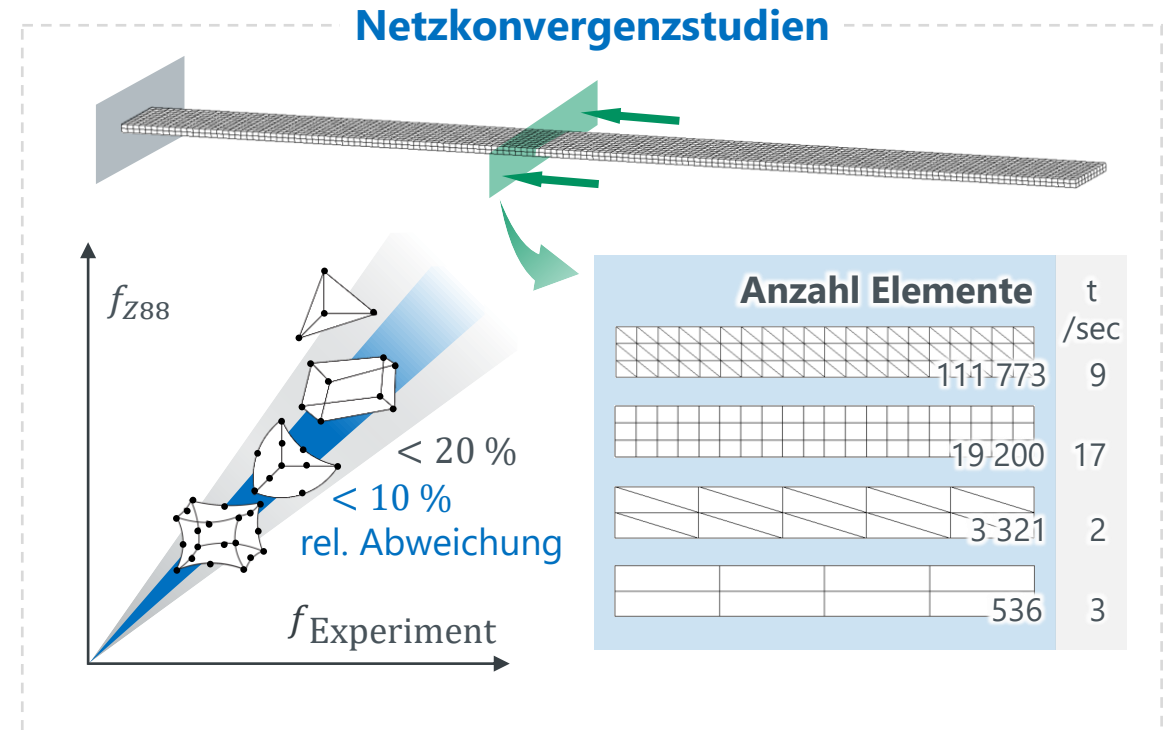
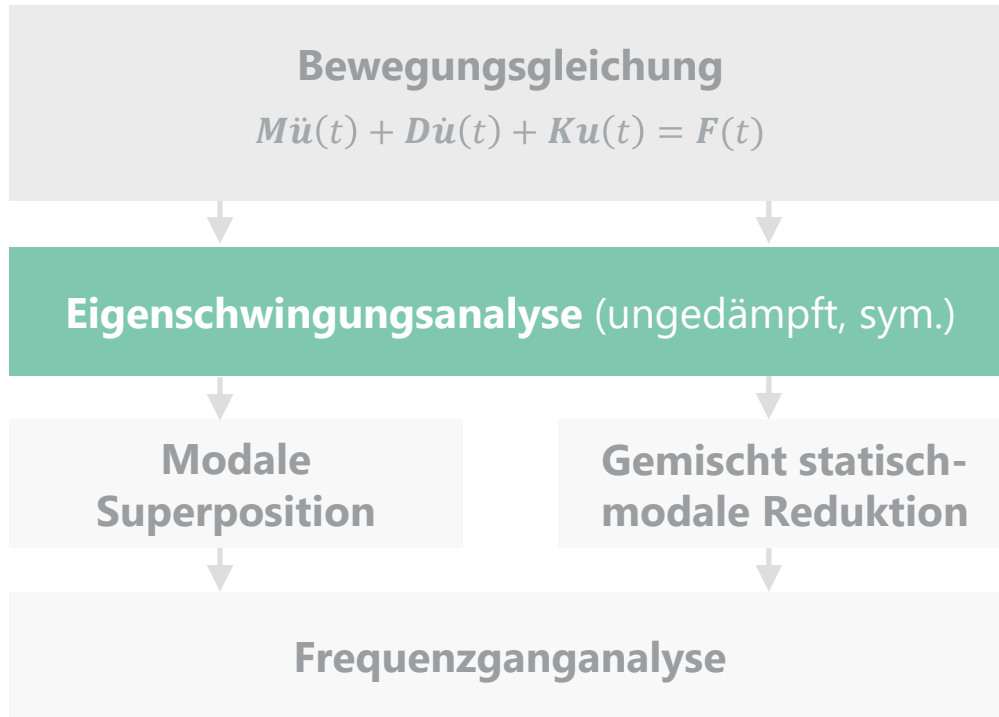


→ **Gute Übereinstimmung der Eigenschwingformen aus FEA und experimenteller Messung**



Strukturdynamische Finite-Elemente-Analyse

Eigenschwingungsanalyse - Netzeinfluss



→ **Empfehlung: quadratischer Elementansatz führt zu kleinen Abweichungen bei kleiner Anzahl an finiten Elementen**

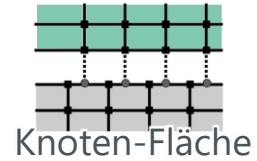


Verklebter Kontakt

$$(K - \omega^2 M)\Phi = 0 \quad \text{symmetrisch, ungedämpft}$$

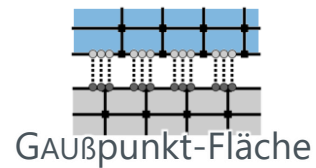
- LAGRANGE-Ansatz mit Störparameter

$$\left(\begin{bmatrix} K & G^T \\ G & -1/\beta I \end{bmatrix} - \omega^2 \begin{bmatrix} M & 0 \\ 0 & 0 \end{bmatrix} \right) \Phi = 0$$



- Penalty-Methode

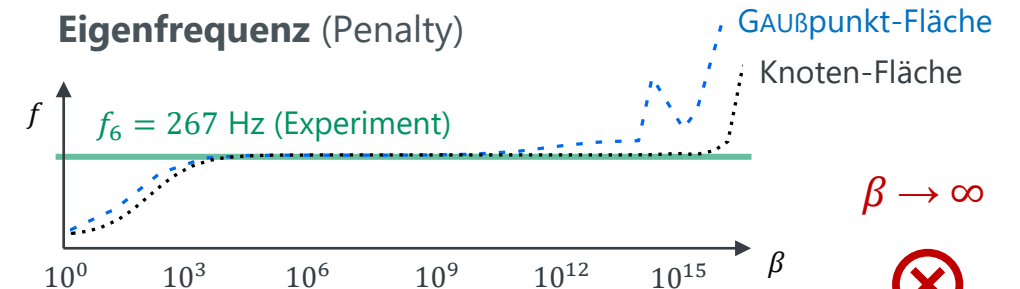
$$((K + \beta G^T G) - \omega^2 M)\Phi = 0$$



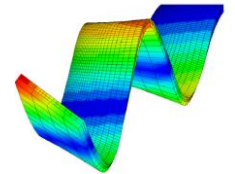
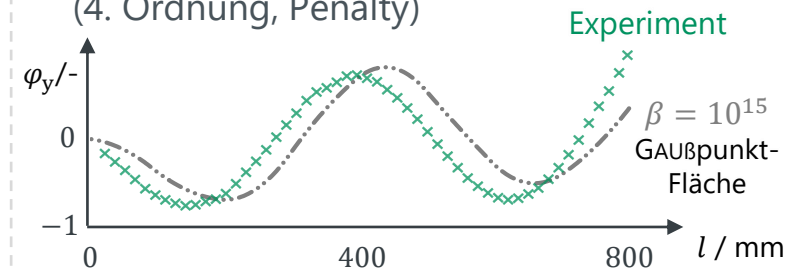
Betriebspunkt-Linearisierung: Kontaktzustand ändert sich in der Eigenschwingungsanalyse nicht

Einfluss Kontaktsteifigkeit

Eigenfrequenz (Penalty)



Biegeschwingung (4. Ordnung, Penalty)



Verklebter Kontakt

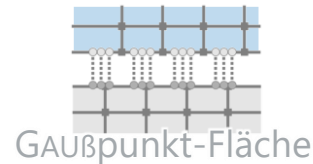
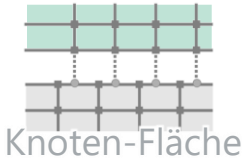
$$(K - \omega^2 M)\Phi = 0 \quad \text{symmetrisch, ungedämpft}$$

- LAGRANGE-Ansatz mit Störparameter

$$\left(\begin{bmatrix} K & G^T \\ G & -1/\beta I \end{bmatrix} - \omega^2 \begin{bmatrix} M & 0 \\ 0 & 0 \end{bmatrix} \right) \Phi = 0$$

- Penalty-Methode

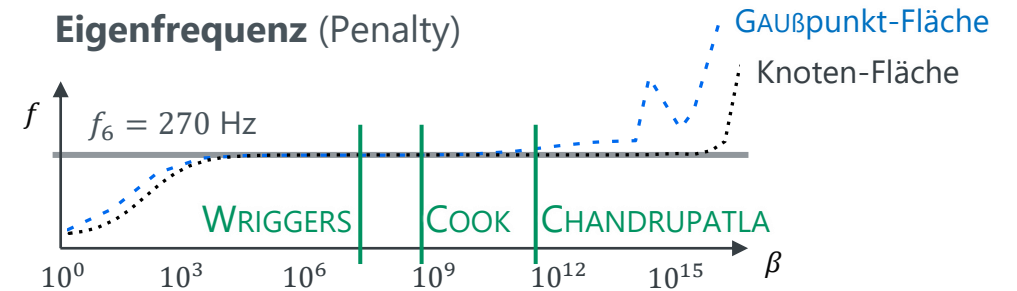
$$((K + \beta G^T G) - \omega^2 M)\Phi = 0$$



Betriebspunkt-Linearisierung: Kontaktzustand ändert sich in der Eigenschwingungsanalyse nicht

Einfluss Kontaktsteifigkeit

Eigenfrequenz (Penalty)



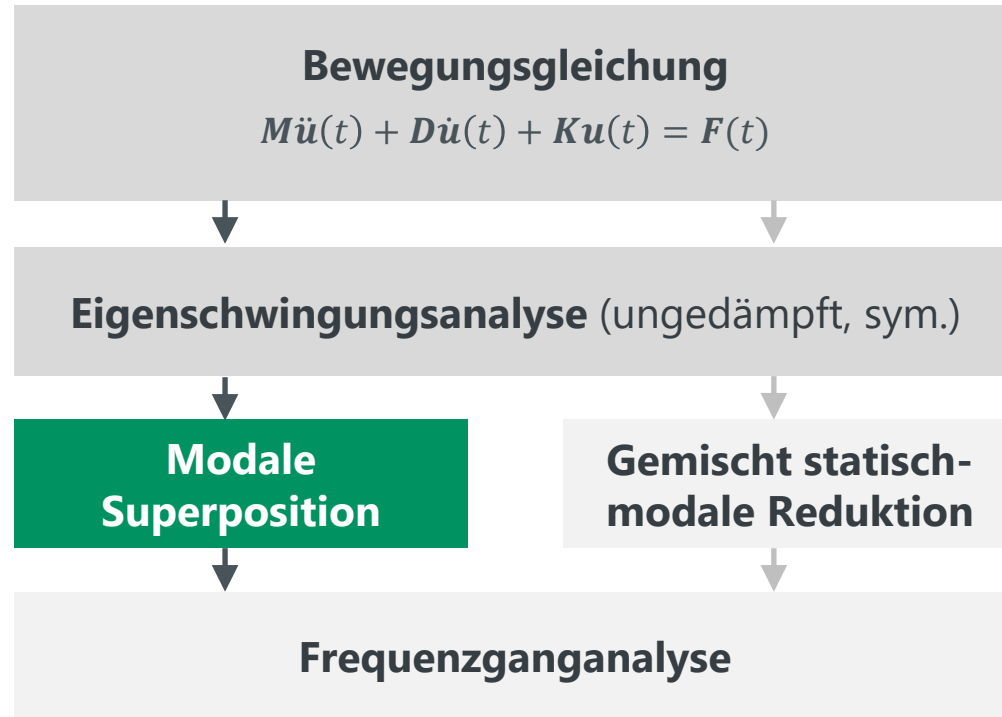
Kriterien numerischer Kontaktsteifigkeit

- CHANDRUPATLA: $\beta = 10^{2..4} \cdot \max K_{ii}$
- COOK ET AL., WISSMANN: $\beta \leq 10^{\frac{d_w}{2}} \approx 10^{7..8}$
- WRIGGERS, NOUR-OMID: $\beta = \frac{k_{\min}}{\sqrt{n_{FG} \cdot t^z}}$



Strukturdynamische Finite-Elemente-Analyse

Reduktionsmethoden: Modale Reduktion



Modale Reduktion

- **Eigenschwingungsanalyse** (ungedämpft, sym.)

$$(K - \omega^2 M)\Phi = 0$$

- **Modale Superposition relevanter Eigenformen**

$$u = \Phi \cdot q \rightarrow \sum_{j=1}^{k \ll n} \varphi_j \cdot q_j$$

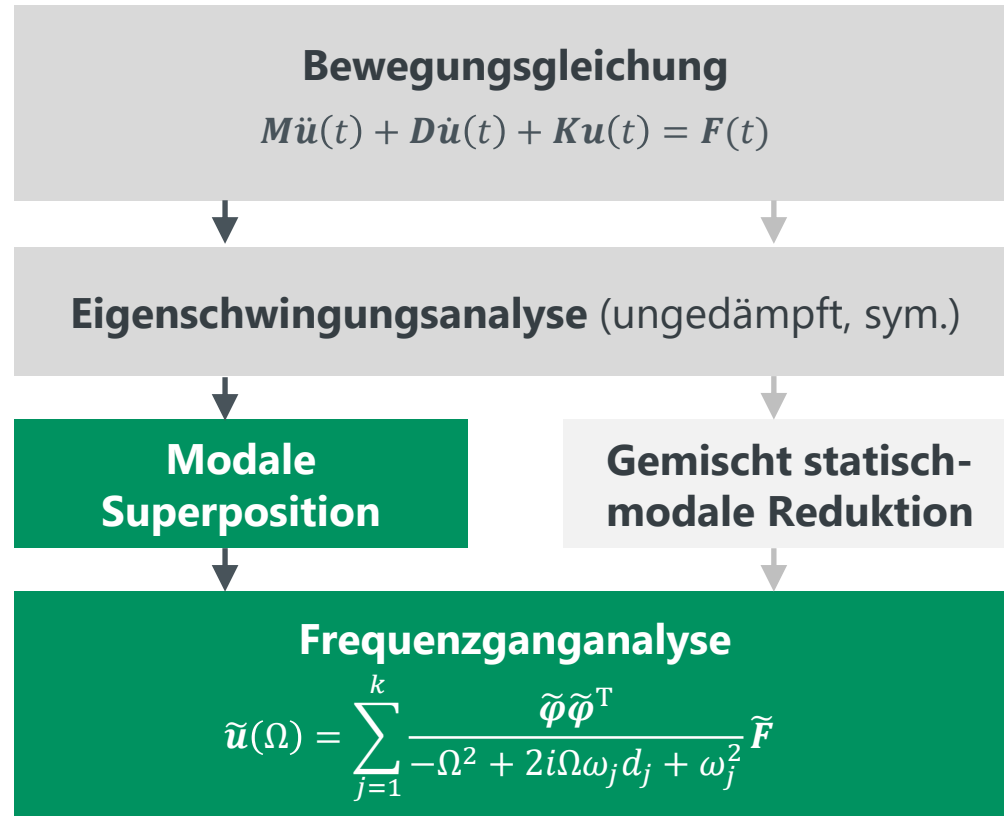
- **Bewegungsgleichung entkoppelt**

$$\ddot{q}_j + 2\xi_j \omega_j \dot{q}_j + \omega_j^2 q_j = f_j$$

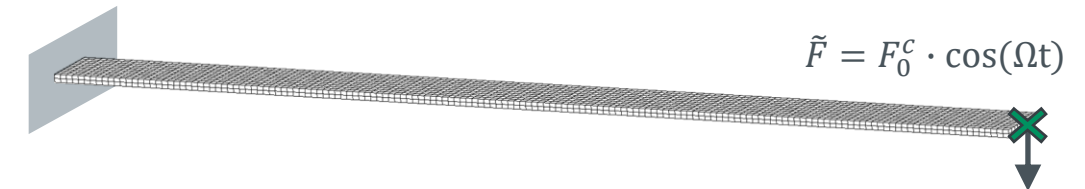


Strukturdynamische Finite-Elemente-Analyse

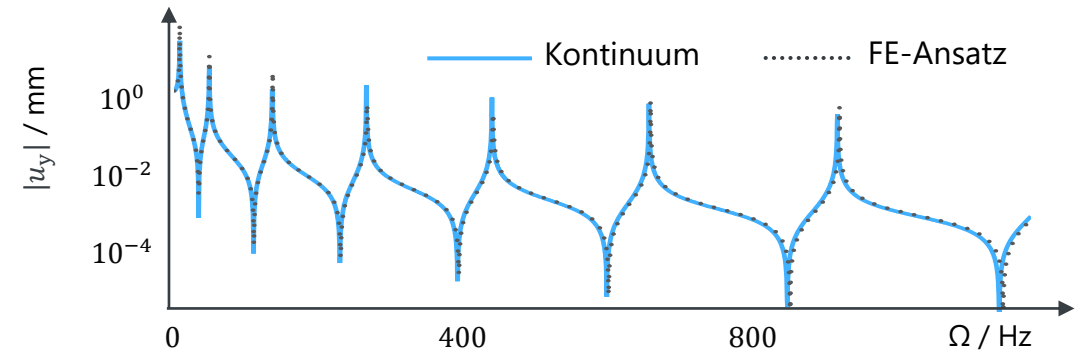
Harmonische Analyse mit Modaler Reduktion



Harmonische Anregung



Amplitudengang: FEA vs. Analytik

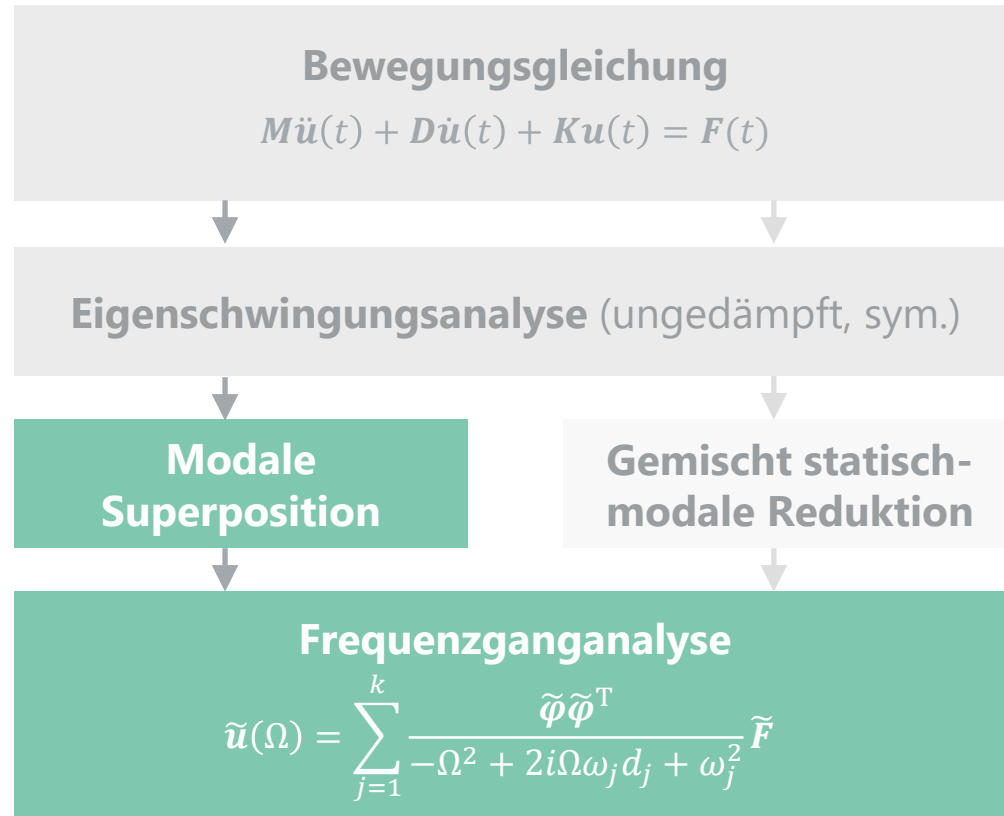


- Modale Superposition beschleunigt Frequenzganganalyse

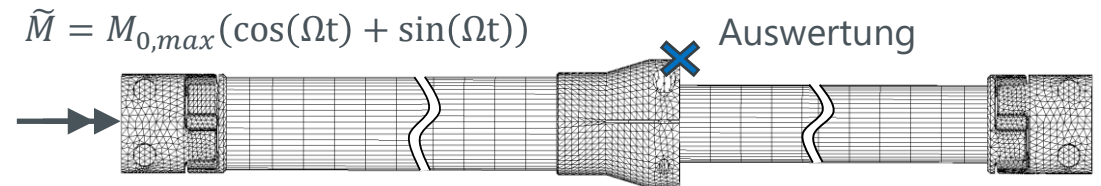


Strukturdynamische Finite-Elemente-Analyse

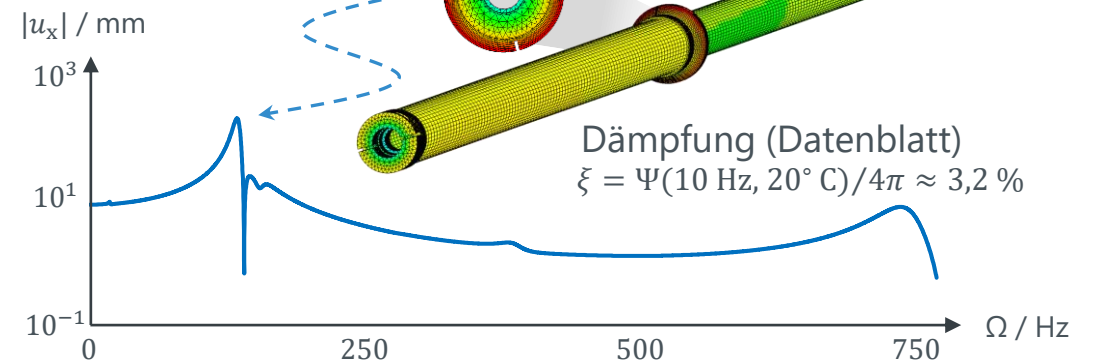
Harmonische Analyse der schwingungsdämpfenden Gelenkwelle



Anwendungsbeispiel: R+W-Gelenkwelle

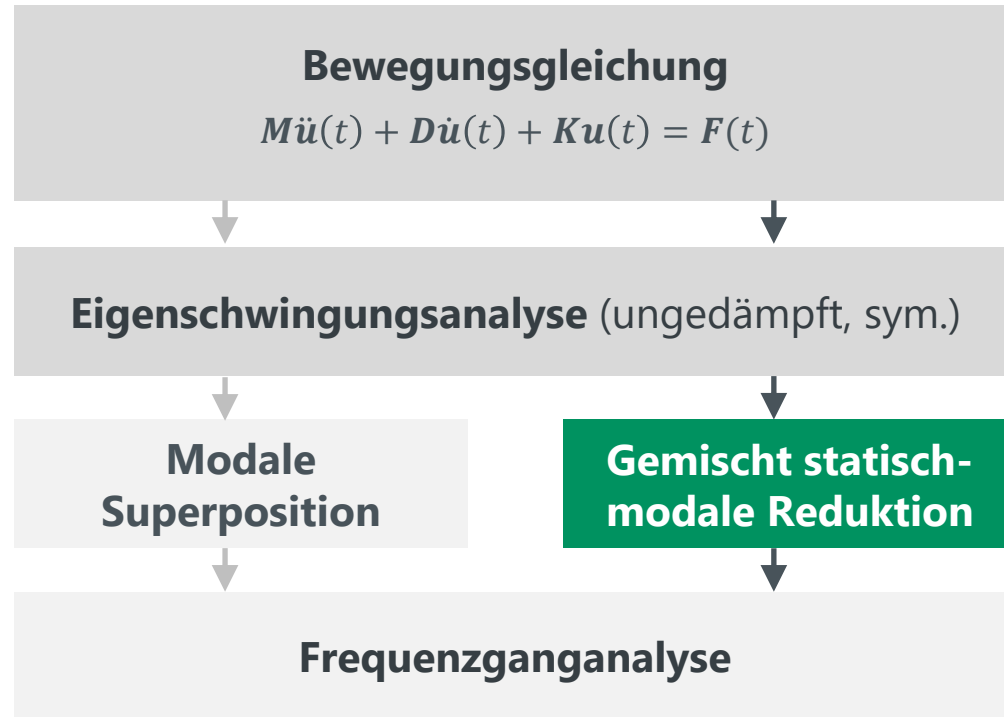


Amplitudengang



Strukturdynamische Finite-Elemente-Analyse

Reduktionsmethoden: Gemischt statisch-modale Reduktion



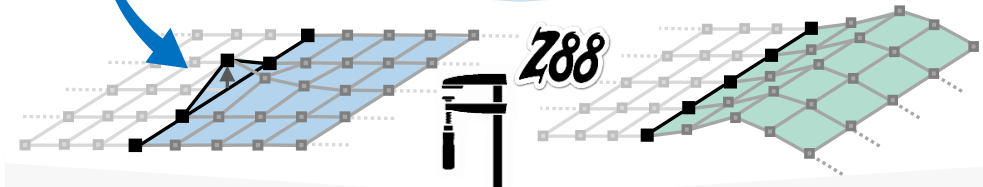
Reduktion nach CRAIG-BAMPTON

- **Eigenschwingungsanalyse** (interne FHG)

$$(K - \omega^2 M)\Phi_i = 0$$

- **Statische Kondensation nach GUYAN**

$$K_{\text{red}} = K_{ee} - K_{ei}K_{ii}^{-1}K_{ie}$$



- **Dynamische Reduktion**

$$u = \begin{bmatrix} I & 0 \\ -K_{ii}^{-1}K_{ie} & \Phi_i \end{bmatrix} \begin{bmatrix} u_e \\ q_k \end{bmatrix} = T_{\text{HCB}} q$$

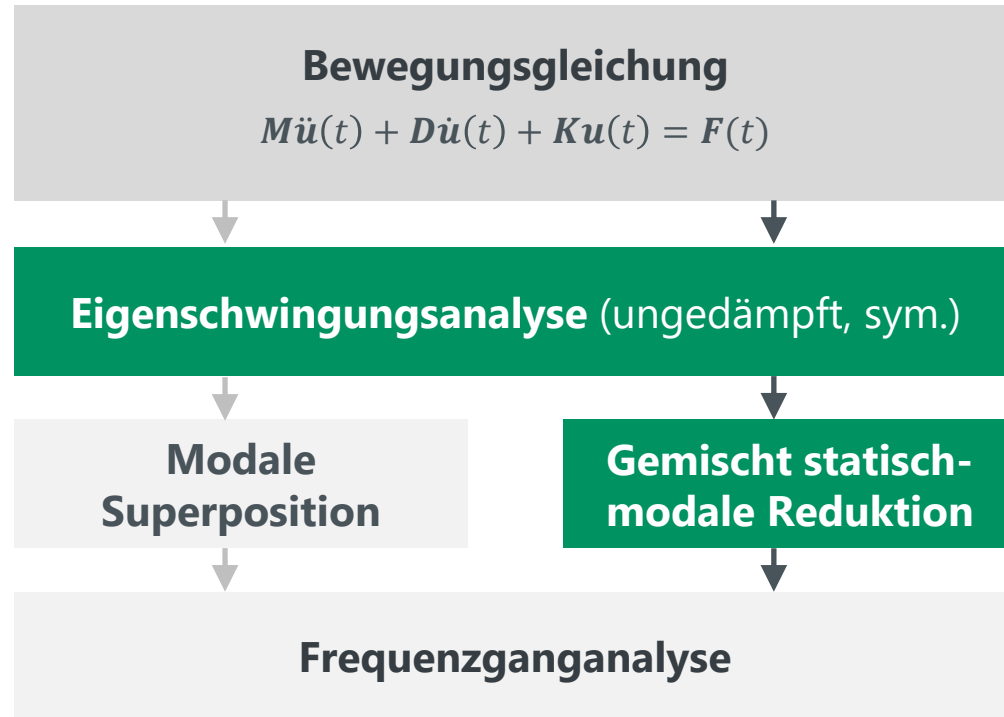
Freiheitsgrade

i intern
e extern
k modal



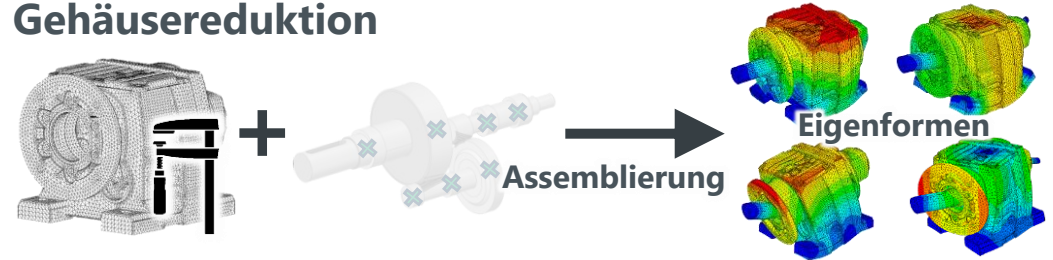
Strukturdynamische Finite-Elemente-Analyse

Schwingeigenschaften Stirnradgetriebe

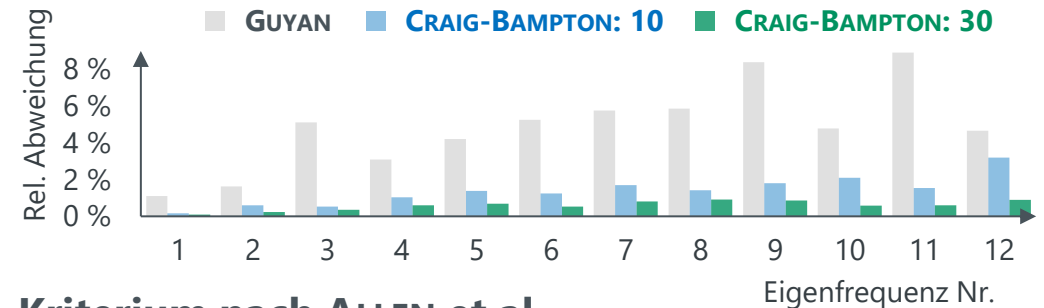


Eigenschwingungen im Gesamtgetriebe

▪ Gehäusereduktion



▪ Eigenfrequenzen im Gesamtmodell



▪ Kriterium nach ALLEN et al.

$$f_k \approx 2f_{12} \rightarrow f_k \geq 6,7 \text{ kHz bzw. } k \approx 30$$



Zusammenfassung

- **Eigenschwingungsanalyse mit Kontakt**
 - Untersuchung d. Einflusses von FE-Netz & Kontakt
 - Validierung durch experimentelle Modalanalyse
- **FE-Frequenzganganalyse**
 - Absicherung des direkten FE-Ansatzes durch die analytische Beschreibung nach EULER-BERNOULLI
 - Beschleunigung durch dynamische Reduktion
- **Dynamische Reduktionsmethoden**
 - Modale Reduktion und Superposition
 - Reduktion nach CRAIG-BAMPTON
- **Übertragung auf Anwendungsbeispiele**
 - Elastomer-Gelenkwelle
 - Getriebegehäuse eines Stirnradgetriebes

Ausblick

- **Automatisierte Schrittweite in der Frequenzganganalyse**
- **Effizienzsteigerung transienter Strukturdynamik**
 - dynamische Reduktion
 - modale Superposition
- **Einfluss Nichtlinearität auf Eigenschwingungen**

